

体外产气法和尼龙袋法评定苧麻的饲用价值

贺 瑶 王洪荣* 徐进昊 赵 睿

(扬州大学动物科学与技术学院, 扬州 225009)

摘 要: 本试验通过体外产气法和尼龙袋法对苧麻叶片、苧麻全株以及苧麻去纤维全株的饲用价值进行评定。采用体外产气法测定苧麻叶片、苧麻全株以及苧麻去纤维全株的 72 h 动态产气量, 并求得产气参数; 用上述 3 种原料进行尼龙袋试验, 测定干物质 (DM)、粗蛋白质 (CP)、中性洗涤纤维 (NDF) 及酸性洗涤纤维 (ADF) 的降解率, 求得降解参数。结果表明: 1) 产气试验中, 苧麻全株 72 h 产气量及理论最大产气量均最高, 显著高于最低的苧麻去纤维全株($P<0.05$), 苧麻叶片居中, 苧麻叶片与其他二者差异不显著($P>0.05$)。2) 尼龙袋试验中, DM、CP、NDF 及 ADF 的 72 h 降解率均为苧麻叶片>苧麻全株>苧麻去纤维全株; DM、NDF、ADF 有效降解率也呈现相同的变化规律; 然而 CP 有效降解率则表现为苧麻全株>苧麻叶片>苧麻去纤维全株。从体外产气量和有效降解率来看, 苧麻叶片和苧麻全株的饲用价值要优于苧麻去纤维全株。

关键词: 苧麻; 饲用价值; 体外产气法; 尼龙袋法

中图分类号: S816.5

苧麻[*Boehmeria nivea* (L.) Gaudich]属于荨麻科(Urticaceae)苧麻属(*Boehmeria*), 是多年生宿根型草本植物^[1]。苧麻作为一种传统纤维作物, 广泛种植于我国湖南、湖北、四川、江西等地^[2]。近年来, 苧麻逐渐成为一种新型高蛋白质牧草资源而备受关注^[3-6]。据报道, 苧麻营养价值丰富, 可与苜蓿媲美, 且苧麻产量高, 生物适应性好, 可在雨热同季的南方很好地生长^[7-8], 但却缺少苧麻在动物生产中应用情况的研究。

体外产气法和尼龙袋法是 2 种体外评定饲料饲用价值最常用的方法, 体外产气法是由德国霍恩海姆大学动物营养研究所 Menke 等研究者在 1979 建立的, 是目前国际上广泛用来评价反刍动物饲草饲料营养价值的方法之一, 通过产气量的大小可以比较准确地估测饲料的瘤

收稿日期: 2016-08-02

基金项目: 公益性行业 (农业) 科研专项 (201303144); 苏北科技发展计划——科技富民强县项目 (BN2014004); 江苏省高校优势学科 (PAPD)

作者简介: 贺 瑶 (19--), 女, 内蒙古巴彦淖尔人, 硕士研究生, 从事反刍动物营养研究。

E-mail: 18047612538@163.com

*通信作者: 王洪荣, 教授, 博士生导师, E-mail: hrwang@yzu.edu.cn

胃有机物质消化率。尼龙袋法将饲料与动物很好地结合起来,饲料在瘤胃内的利用情况可以清晰地呈现,实时测定饲料瘤胃内降解率,它是一种评定饲料营养物质在瘤胃内降解速度和程度的快速高效的方法^[9-10]。为了深入探究苧麻的饲用价值,本实验室采用体外产气法与尼龙袋法对苧麻的饲用价值进行评定,为苧麻作为饲草资源的利用提供理论依据。

1 材料与方法

1.1 试验材料

苧麻样品于2014年6月份采自湖南省麻类研究所试验基地,苧麻品种为中苧1号。中苧1号是从圆叶青苧麻×芦竹青苧麻的杂交后代中选育而成的优质、高产、多抗品种。苧麻采集时为苧麻的头麻期,生长地区处于北纬28°18'东经112°51',高度为80~100 cm,分别单独采集苧麻叶片(手动采摘叶片)、苧麻全株(用镰刀收割)以及苧麻去纤维全株(用镰刀收割苧麻全株后,用4BM-260型苧麻剥麻机脱去麻纤维)。采集后,自然干燥,粉碎过1 mm筛,室温保存于自封袋中备用。产气试验装置为ANKOM RFS产气测量装置(北京安科博瑞科技有限公司);尼龙袋试验采用8 cm×12 cm的尼龙袋(孔径50 μm)。

1.2 试验方法

1.2.1 营养成分含量测定

苧麻叶片、苧麻全株、苧麻去纤维全株的干物质(DM)、粗蛋白质(CP)、粗灰分(ash)、粗脂肪(EE)、钙(Ca)含量参照张丽英^[11]的方法测定,中性洗涤纤维(NDF)、酸性洗涤纤维(ADF)含量的测定参照Van Soest^[12]的方法,每个样品2个重复;尼龙袋消化后样品测定其DM、CP、NDF和ADF含量,方法同上。

1.2.2 体外产气试验

采用ANKOM RFS产气测量装置(北京安科博瑞科技有限公司),先将模块中电池全部充电16 h,装好模块电池,计算机连接BASE发射器,运行GPM软件,检测模块与计算机的交互,确认GPM软件中识别到所有模块。

检测放气阀正常,设置响应时间为1 s,记录间隔时间为1 min。点击记录按钮开始记录数据,连接阀门清理工具,在模块中冲入41~69 kPa压力(注意:不要超过69 kPa),6~10 min后观察数据。确认压力无明显降低,微小变化是正常的,点击开启阀门按钮,确认压力降低了,确认压力为0 kPa后点击开启阀门选框关闭模块放气阀。

分别将 0.500 0 g 苧麻叶片、苧麻全株以及苧麻去纤维全株装入 250 mL 人工瘤胃培养瓶，
 每组 5 个重复，同时做 3 个空白对照（只有培养液，没有底物）。将全部培养瓶放入电热恒
 温振荡水浴箱中预热，并将预先配制好的微生物培养液至于 39 °C 电热水浴恒温器中预热。
 微生物培养液的配制参照 Menke 等^[13]的方法：将 8.75 g NaHCO₃、1.00 g NH₄HCO₃、1.43 g
 Na₂HPO₄、1.55 g KH₂PO₄、0.15 g MgSO₄·7H₂O、0.52 g Na₂S、0.015 g MnCl₂·4H₂O、0.002 g
 CoCl₂·6H₂O、0.012 g FeCl₃·6H₂O、0.017 g CaCl₂·2H₂O 和 1.25 mg 刃天青全部溶于 1 L 蒸馏
 水中，通 CO₂ 直至 pH 6.8。

瘤胃液供体动物为 3 只安装有永久性瘤胃瘘管的杜泊羊与湖羊杂交 F1 代，于晨饲前采
 集 150 mL 瘤胃液经 4 层纱布过滤，混合装入保温瓶中，迅速带回实验室通 CO₂。

打开 ANKOM RFS 系统软件页面，将 BASE 调制器和 USB 线与电脑连接，基准 0 模块
 连接，用注射器吸取微生物培养液 50 mL 置于培养瓶中，并接种 25 mL 瘤胃液，在安装模
 块前直接通入 CO₂，大约 5 s；快速连接安装模块，设置响应时间为 1 s，点击开启阀门按钮，
 开启模块放气阀，接通进气口，将 CO₂ 通入模块瓶 15 s 以上；当模块中的压力为 0 kPa，关
 闭放气阀（注意：压力不要超过 69 kPa）。

运行 GPM 软件，设置记录间隔时间，设置压力单位，选择自动保存文件的路径，决定
 文件保存的位置。开始记录，由电脑自动记录并保存发酵产气 72 h 产气压力。

1.2.3 尼龙袋试验

试验操作程序参考王加启^[14]的方法：精确称取粉碎样品 3 g，小心装入尼龙袋（8 cm×12
 cm,孔径 50 μm)中，系紧袋口尼龙绳,然后将系好的尼龙袋拴在软塑料棒的一端,另一端系绳
 并固定在瘤胃瘘管上。尼龙袋在瘤胃放置时间分别为 6、12、24、36、48、72 h。每个样品、
 每个时间点 4 个重复。将每个时间点取出的尼龙袋在水龙头下轻轻用手抚动冲洗，直至水清
 为止。冲洗好后，将尼龙袋放入 65 °C 烘箱内，直至恒重。将同一时间点相同样品的袋内残
 渣混合均匀后作为待测样品。

1.3 参数模拟及统计分析

产气压力与产气体积换算[在 39 °C 时，将产气压力(kPa)换算为体积（mL）]:

$$V_x = V_j \times P_{\text{kPa}} \times 0.145\ 037\ 7 \times 0.068\ 004\ 08。$$

式中：V_x 为 39 °C 时产气体积（mL）；V_j 为模块瓶内液面上部空间的体积（mL）；P_{kPa}

为 GMS 软件记录的累积压力 (kPa)。

根据待测饲料中 DM 含量, 将产气数据转换为单位质量 DM 产气量, 采用以下方程进行非线性拟合, 得出产气参数。

$$GP_t = A/[1+(C/t)^B]$$

式中: GP_t 为发酵在 t 时间点 (h) 产气量 (mL/g); A 为理论最大产气量 (mL); B 为曲线拐点参数; C 为达 1/2 理论最大产气量的时间 (h)。

待测饲料营养物质在瘤胃中不同时间点的降解率计算公式如下:

$$A = 100 \times (B - C) / B$$

式中: A 为待测饲料营养物质的瘤胃降解率 (%); B 为样品中待测饲料营养物质的含量 (%); C 为残渣中待测饲料营养物质的含量 (%)。

待测饲料各营养物质的降解参数及有效降解率计算参照 Ørskov 等^[15]的方法, 计算公式如下:

$$Deg(t) = a + b \times (1 - e^{-ct})$$

$$P = a + (b \times c) / (c + k)$$

式中: $Deg(t)$ 为 t 时间点 (h) 营养物质降解率 (%); a 为快速降解部分含量 (%); b 为慢速降解部分含量 (%); t 为待测饲料在瘤胃中滞留时间 (h); c 为慢速降解部分的降解速率 (%/h); P 为待测饲料中营养物质有效降解率 (%); k 为待测饲料的瘤胃流通速率 (%/h), $k = 0.0364 + 0.614X$ 。

1.4 数据处理与分析

用 Excel 2010 整理数据, SPSS 19.0 的 one-way ANOVA 程序进行单因素方差分析, $P < 0.05$ 为差异显著, $P > 0.05$ 为差异不显著。

2 结果与分析

2.1 苧麻叶片、苧麻全株、苧麻去纤维全株营养成分含量

表 1 所列为苧麻叶片、苧麻全株、以及苧麻去纤维全株的营养成分含量。从表中可以看出, 苧麻全株 DM 含量最高, 苧麻叶片次之并与苧麻去纤维全株接近。苧麻叶片 CP、EE、ash、Ca 含量均大于苧麻全株和苧麻去纤维全株, NDF、ADF 含量均小于苧麻全株和苧麻去纤维全株。苧麻全株与苧麻去纤维全株因收获高度相近, 各营养成分含量差异均较小。

表 1 苧麻叶片、苧麻全株、苧麻去纤维全株的营养成分含量(干物质基础)

Table 1 Nutrient composition contents of ramie leaf, ramie whole plant and ramie whole plant without fiber

项目 Items	(DM basis) (n=2) %		
	苧麻叶片 Ramie leaf	苧麻全株 Ramie whole plant	苧麻去纤维全株 Ramie whole plant without fiber
干物质 DM	95.11±0.32	95.47±0.06	94.92±0.03
粗蛋白质 CP	20.38±0.31	13.75±0.53	15.69±0.18
粗灰分 Ash	17.05±0.10	10.27±0.19	12.37±0.17
粗脂肪 EE	6.58±0.02	3.93±0.20	3.92±0.02
中性洗涤纤维 NDF	44.65±2.18	59.75±1.30	60.78±1.35
酸性洗涤纤维 ADF	34.24±1.19	49.92±0.96	48.03±1.42
钙 Ca	5.02±0.08	2.90±0.02	3.47±0.08

2.2 苧麻叶片、苧麻全株、苧麻去纤维全株体外产气试验结果

图 1 所示为苧麻叶片、苧麻全株、苧麻去纤维全株体外发酵动态产气量。从图中可以看出，在 0~12 h 苧麻叶片、苧麻全株、苧麻去纤维全株产气量都急剧增加，苧麻去纤维全株在 12 h 后产气量的增加逐渐平缓，并且与苧麻叶片和苧麻全株的差距逐渐增大；苧麻叶片和苧麻全株在 20 h 开始产气量的增加逐渐平缓，并且在此时，苧麻叶片与苧麻全株的差距逐渐增大。

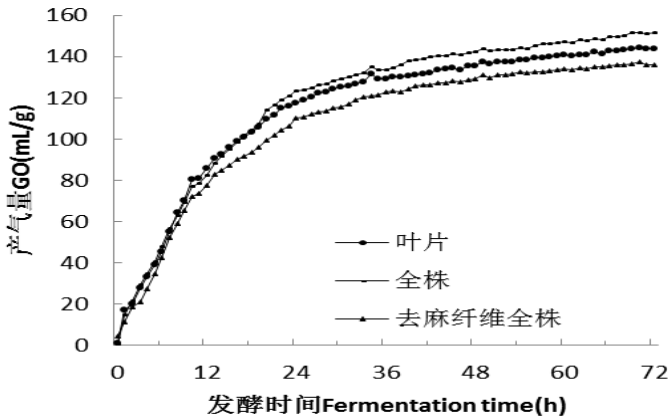


图 1 苧麻叶片、苧麻全株、苧麻去纤维全株的体外发酵动态产气量(干物质基础)

Fig.1 Dynamic GP of ramie leaf, ramie whole plant and ramie whole plant without fiber after *in vitro* fermentation (DM basis)

表 2 所示为苧麻叶片、苧麻全株、苧麻去纤维全株体外发酵产气量及产气参数。从表中可以看出，各时间点的产气量均是苧麻全株最大，苧麻叶片次之，苧麻去纤维全株最小，三

者在 2 h 时产气量差异不显著($P>0.05$), 之后的时间点出现显著差异($P<0.05$)。理论最大产气量也以苧麻全株最高 (167.51 mL/g), 苧麻叶片次之 (153.69 mL/g), 以苧麻去纤维全株最低 (145.07 mL/g), 苧麻全株与苧麻去纤维全株差异显著($P<0.05$)。达 1/2 理论最大产气量的时间及曲线拐点参数苧麻叶片、苧麻全株、苧麻去纤维全株之间差异不显著($P>0.05$)。

表 2 苧麻叶片、苧麻全株、苧麻去纤维全株的体外发酵产气量及产气参数 (干物质基础)

Table 2 GP and GP parameters of ramie leaf, ramie whole plant and ramie whole plant without fiber after *in*

vitro fermentation (DM basis)

项目 Items	苧麻叶片 Ramie leaf	苧麻全株 Ramie whole plant	苧麻去纤维全株 Ramie whole plant without fiber	SEM	<i>P</i> 值 <i>P</i> -value
产气量 GP/(mL/g)					
2 h	19.95±1.64	23.43±1.71	18.62±0.01	1.00	0.08
4 h	33.86±1.58 ^b	37.85±0.86 ^c	27.04±0.87 ^a	2.03	<0.01
6 h	44.74±0.69 ^b	49.26±0.83 ^c	41.46±1.73 ^a	1.48	0.02
8 h	62.89±1.94 ^b	63.68±1.62 ^b	57.08±0.90 ^a	1.41	0.04
12 h	84.05±1.17 ^b	84.11±1.68 ^b	76.30±2.61 ^a	1.75	0.04
24 h	114.88±0.43 ^{ab}	122.55±4.21 ^a	107.54±1.79 ^a	2.87	0.03
36 h	126.97±0.47 ^b	131.02±0.81 ^b	119.56±2.65 ^a	2.27	0.01
48 h	133.02±0.49 ^{ab}	139.38±3.36 ^b	126.16±1.59 ^a	2.51	0.02
72 h	141.48±0.52 ^{ab}	148.98±3.36 ^b	132.76±74.14 ^a	3.12	0.03
理论最大产气量 Theological maximum GP/mL	153.69±2.08 ^{ab}	167.51±0.11 ^b	145.07±7.48 ^a	4.37	0.03
达 1/2 理论最大产气量的时间 Time reaching 1/2 theological maximum GP/h	10.72±0.35	11.69±0.45	11.30±1.55	0.35	0.64
曲线拐点参数 Inflection point parameter of curve	1.32±0.10 ^b	1.17±0.06 ^a	1.33±0.11 ^b	0.04	0.30

同行数据肩标相同字母或无字母表示差异不显著($P>0.05$),不同字母表示差异显著($P<0.05$)。下表同。

Values in the same row with the same or no letter superscripts mean no significant difference ($P>0.05$),

while with different letter superscripts mean significant difference ($P<0.05$). The same as below.

2.3 苧麻叶片、苧麻全株、苧麻去纤维全株尼龙袋试验结果

由表 3 可知, 随着苧麻叶片、苧麻全株、苧麻去纤维全株在瘤胃内停留时间的增加, 其 DM 降解率逐渐增大。苧麻叶片在 24 h 内降解很快, 24 h 后降解逐渐平缓; 苧麻全株 12 h 内降解缓慢, 12~24 h 内降解快, 24 h 后逐渐趋于平缓; 苧麻去纤维全株在 12 h 内降解缓慢, 12~36 h 内降解快, 36 h 后降解逐渐缓慢。苧麻叶片、苧麻全株、苧麻去纤维全株 DM 降解率在各时间点出现显著差异($P<0.05$), 72 h 时 DM 降解率分别为 83.61%、74.17%、63.87%。DM 慢速降解部分含量由大到小分别为苧麻叶片、苧麻全株、苧麻去纤维全株, 苧麻叶片、

chinaXiv:201711.01503v1

137 苧麻全株与苧麻去纤维全株差异显著($P<0.05$); DM 有效降解率与 DM 慢速降解部分含量呈
138 现相同的变化趋势, 苧麻叶片、苧麻全株以及苧麻去纤维全株的 DM 有效降解率依次为
139 49.05%、47.16%、36.07%; 苧麻叶片、苧麻去纤维全株的 DM 快速降解部分含量显著高于
140 苧麻全株($P<0.05$);DM 慢速降解部分的降解速率为苧麻全株>苧麻叶片>苧麻去纤维全株,
141 三者间差异显著($P<0.05$)。

142 表 3 苧麻叶片、苧麻全株、苧麻去纤维全株的干物质降解率及降解参数

143 Table 3 DM degradation rate and degradation parameters of ramie leaf, ramie whole plant and ramie whole

144		plant without fiber after <i>in vitro</i> fermentation		%			
		苧麻叶片	Ramie	苧麻全株	Ramie	苧麻去纤维全株	
目	Items	leaf	whole plant	Ramie	whole plant	without fiber	SEM
							<i>P</i> 值
							<i>P</i> -value
物质降解率	DM degradation rate						
		41.42±0.29 ^a	35.86±1.06 ^b	31.19±1.51 ^c		1.90	<0.01
6 h		45.70±1.41 ^a	46.77±0.23 ^a	32.68±2.05 ^b		2.90	<0.01
12 h		65.68±2.28 ^a	67.72±1.36 ^a	45.61±0.46 ^b		4.49	<0.01
24 h		75.13±0.28 ^a	69.52±1.20 ^b	58.87±1.77 ^c		3.06	<0.01
36 h		77.25±1.05 ^a	70.40±0.94 ^b	60.67±1.10 ^c		3.06	<0.01
48 h		83.61±6.75 ^a	74.17±1.18 ^{ab}	63.87±1.21 ^b		3.82	0.04
速降解部分	Rapidly degraded fraction	3.41±0.57 ^a	0.77±0.10 ^b	3.57±0.21 ^a		0.58	<0.01
速降解部分	Slowly degraded fraction	76.89±3.33 ^a	71.79±1.00 ^a	59.69±0.53 ^b		3.29	<0.01
速降解部分的降解速率	Degradation rate of slowly degraded fraction/(%/h)	0.078 8±0.006 4 ^b	0.098 1±0.000 1 ^a	0.064 3±0.060 0 ^c		0.01	<0.01
效降解率	Effective degradation rate	49.05±1.03 ^a	47.16±0.77 ^a	36.07±1.29 ^b		2.58	<0.01

145 由表 4 可知, 随着在瘤胃内停留时间的增加, 苧麻叶片、苧麻全株、苧麻去纤维全株
146 CP 降解率逐渐增大, 苧麻叶片 CP 降解率在 12 h 前降解缓慢很快, 12~36 h 内快速降解, 36
147 h 后降解逐渐缓慢; 苧麻全株 24 h 内降解快, 24 h 后降解缓慢; 苧麻去纤维全株在 24 h 内
148 降解缓慢, 24~36 h 内降解快, 36 h 后降解缓慢。苧麻叶片、苧麻全株、苧麻去纤维全株 CP
149 降解率在 6~48 h 存在差异显著($P<0.05$), 在 72 h 时无显著差异($P>0.05$), 分别为 79.91%、
150 78.27%、74.03%。苧麻叶片的 CP 快速降解部分含量显著高于苧麻全株、苧麻去纤维全株(P
151 <0.05); 苧麻叶片、苧麻全株、苧麻去纤维全株 CP 慢速降解部分含量分别为 69.15%、77.23%、
152 85.26%, 三者间差异不显著($P>0.05$); CP 慢速降解部分的降解速率以苧麻全株最大, 显著
153 高于苧麻叶片和苧麻去纤维全株($P<0.05$);CP 有效降解率呈现苧麻全株>苧麻去纤维全株
154 >苧麻叶片, 苧麻全株显著显著高于苧麻去纤维全株和苧麻叶片($P<0.05$)。

155 表 4 苧麻叶片、苧麻全株、苧麻去纤维全株的粗蛋白质降解率及降解参数

156 Table 4 CP degradation rate and degradation parameters of ramie leaf, ramie whole plant and ramie whole plant

157

		without fiber after <i>in vitro</i> fermentation			%	
		苧麻叶片	Ramie	苧麻全株	Ramie	苧麻去纤维全株
项目	Items	leaf		whole plant		Ramie whole plant
						without fiber
						SEM
						<i>P</i> 值
						<i>P</i> -value
粗蛋白质降解率		CP degradation rate				
6 h		23.45±0.37 ^b		32.27±1.12 ^a		33.08±1.47 ^a
12 h		25.64±1.92 ^c		50.60±0.21 ^a		36.29±1.94 ^b
24 h		51.65±3.21 ^b		70.56±1.24 ^a		44.95±0.46 ^c
36 h		67.73±0.37 ^b		73.71±1.17 ^a		65.55±1.48 ^b
48 h		70.26±1.37 ^b		75.59±1.61 ^a		67.57±0.91 ^b
72 h		79.91±8.28		78.27±0.99		74.03±0.87
快速降解部分		Rapidly degraded fraction		5.27±0.27 ^a		1.08±0.84 ^b
慢速降解部分		Slowly degraded fraction		85.26±7.67		77.23±1.84
慢速降解部分的降解速率		Degradation				
rate of slowly degraded fraction/(%/h)		0.037 0±0.004 9 ^b		0.089 0±0.000 6 ^a		0.049 7±0.002 6 ^b
有效降解率		Effective degradation rate		35.97±1.30 ^b		48.30±1.28 ^a
						38.50±1.14 ^b

158 由表 5 可知，随着在瘤胃内停留时间的增加，苧麻叶片、苧麻全株、苧麻去纤维全株的

159 NDF 降解率逐渐增大。苧麻叶片 NDF 降解率呈现平缓上升趋势；苧麻全株 NDF 降解率 24 h

160 内降解快，24 h 后降解缓慢；苧麻去纤维全株 NDF 降解率在 12 h 内降解缓慢，12~36 h 内

161 降解快，36 h 后降解缓慢。苧麻叶片、苧麻全株、苧麻去纤维全株 NDF 降解率在 6 h 时差

162 异不显著($P>0.05$)，在 12~72 h 内出现显著差异($P<0.05$)，72 h 时，NDF 降解率为苧麻叶

163 片最大 (77.63%)，略高于苧麻全株 (66.01%)，而显著高于苧麻去纤维全株 (51.31%) (P

164 <0.05)。苧麻叶片、苧麻全株、苧麻去纤维全株的 NDF 快速降解部分含量和 NDF 慢速降

165 解部分的降解速率均差异不显著($P>0.05$)；NDF 慢速降解部分含量为苧麻叶片>苧麻全株

166 >苧麻去纤维全株，苧麻叶片显著高于苧麻去纤维全株($P<0.05$)；苧麻叶片、苧麻全株、苧

167 麻去纤维全株 NDF 有效降解率从大到小依次为苧麻叶片、苧麻全株、苧麻去纤维全株，但

168 差异不显著($P>0.05$)。

169 表 5 苧麻叶片、苧麻全株、苧麻去纤维全株的中性洗涤纤维降解率及降解参数

170 Table 5 NDF degradation rate and degradation parameters of ramie leaf, ramie whole plant and ramie whole

项目 Items	plant without fiber after <i>in vitro</i> fermentation %			SEM	P 值 P-value
	苧麻叶片 Ramie leaf	苧麻全株 Ramie whole plant	苧麻去纤维全株 Ramie whole plant without fiber		

中性洗涤纤维降解率 NDF degradation rate					
6 h	18.98±0.40	18.90±1.34	18.69±1.79	0.42	0.97
12 h	30.69±1.79 ^a	30.37±0.30 ^a	18.74±2.47 ^b	2.55	0.01
24 h	52.75±3.14 ^a	56.79±1.81 ^a	34.22±0.55 ^b	4.45	<0.01
36 h	64.09±0.41 ^a	59.83±1.43 ^a	45.23±2.35 ^b	3.65	<0.01
48 h	68.58±1.45 ^a	60.03±1.27 ^b	47.92±1.46 ^c	3.82	<0.01
72 h	77.63±9.22 ^a	66.01±1.55 ^{ab}	51.31±1.64 ^b	5.12	0.04
快速降解部分 Rapidly degraded fraction	0.41±0.58	0.00±0.00	1.57±0.54	0.33	0.08
慢速降解部分 Slowly degraded fraction	81.05±8.05 ^a	66.77±1.41 ^{ab}	52.87±0.45 ^b	5.36	0.02
慢速降解部分的降解速率 Degradation rate of slowly degraded fraction/(%/h)	0.042 0±0.006 0	0.060 0±0.000 8	0.026 3±0.020 9	0.01	0.16
有效降解率 Effective degradation rate	35.72±1.23	35.24±0.98	17.66±8.93	4.11	0.07

172 由表 6 可知，随着饲料在瘤胃内停留时间的增加，苧麻叶片、苧麻全株、苧麻去纤维全

173 株的 ADF 降解率逐渐增大。苧麻叶片在 72 h 内呈现平稳快速降解；苧麻全株 24 h 内降解快，

174 24 h 后降解缓慢；苧麻去纤维全株在 12 h 内降解缓慢，12~36 h 内降解快，36 h 后降解缓慢。

175 苧麻叶片、苧麻全株、苧麻去纤维全株的 ADF 降解率在 6 h 时差异不显著($P>0.05$)，在 12~72

176 h 出现显著差异($P<0.05$)，在 72 h 时 ADF 降解率最高的是苧麻叶片（79.16%），苧麻全株

177 居中（69.14%），苧麻去纤维全株最低（53.23%）。苧麻叶片、苧麻全株、苧麻去纤维全

178 株的 ADF 快速降解部分含量和 ADF 慢速降解部分的降解速率差异不显著($P>0.05$)；ADF

179 慢速降解部分含量以苧麻叶片最大（73.57%），苧麻全株居中（67.23%），苧麻去纤维全株

180 最小（51.59%），苧麻叶片、苧麻全株与苧麻去纤维全株差异显著($P<0.05$)；苧麻叶片、苧

181 麻全株以及苧麻去纤维全株的 ADF 有效降解率依次为 41.97%、40.25%、28.75%，苧麻叶片、

182 苧麻全株与苧麻去纤维全株差异显著($P<0.05$)。

183 表 6 苧麻叶片、苧麻全株、苧麻去纤维全株的酸性洗涤纤维降解率及降解参数

184 Table 6 ADF degradation rate and degradation parameters of ramie leaf, ramie whole plant and ramie whole

185 plant without fiber after *in vitro* fermentation %

项目 Items	苧麻叶片 Ramie leaf	苧麻全株 Ramie whole plant	苧麻去纤维全株 Ramie whole plant without fiber	SEM	P 值 P-value
酸性洗涤纤维降解率 ADF degradation rate					
6 h	30.64±0.34	28.61±1.18	21.74±5.94	2.03	0.16
12 h	42.16±1.50 ^a	36.78±0.27 ^b	26.10±2.25 ^c	3.03	<0.01
24 h	56.27±2.90 ^a	60.83±1.64 ^a	38.55±0.52 ^b	4.34	<0.01
36 h	65.20±0.40 ^a	62.78±1.33 ^a	47.69±2.24 ^b	3.50	<0.01
48 h	71.66±1.31 ^a	64.00±1.14 ^b	50.45±1.38 ^c	3.94	<0.01
72 h	79.16±8.59 ^a	69.14±1.41 ^{ab}	53.23±1.57 ^b	5.04	0.03
快速降解部分 Rapidly degraded fraction	3.17±1.07	0.66±0.11	1.90±1.49	0.57	0.21

慢速降解部分 Slowly degraded fraction	73.57±5.29 ^a	67.23±1.23 ^a	51.59±1.15 ^b	4.25	0.01
慢速降解部分的降解速率 Degradation rate of slowly degraded fraction/(%/h)	0.060 6±0.009 1	0.076 9±0.000 4	0.058 6±0.006 8	0.01	0.12
有效降解率 Effective degradation rate	41.97±1.08 ^a	40.25±0.92 ^a	28.75±2.38 ^b	2.67	<0.01

3 讨 论

3.1 苧麻叶片、苧麻全株、苧麻去纤维全株的产气量

体外产气法是一种国内外普遍用于评定饲草资源饲用价值的方法,通过产气量可以较真实地模拟牧草在瘤胃内有机物质的消化^[16]。Menke 等研究者早在 1979 年就提出体外产气法,将饲料样品用人工瘤胃液培养 24 h 后其产气量与体内消化率测定值之间呈正相关关系。本研究中,72 h 产气量和理论最大产气量以苧麻全株最大,显著高于苧麻去纤维全株,苧麻叶片居中,苧麻叶片的营养价值最高,但产气量却低于苧麻全株,而对于苧麻去纤维全株来说,脱去苧麻茎秆部不利于反刍动物消化利用的纤维后,预想是优于苧麻全株的利用效果,结果却是去纤维后产气量显著低于苧麻全株。

3.2 苧麻叶片、苧麻全株、苧麻去纤维全株的降解率

瘤胃 DM 降解率是影响干物质采食量(DMI)的一个主要因素,且 DM 降解率与 DMI 存在正相关关系。DM 降解率高,则有利于生产性能的发挥。不同饲料原料的蛋白质在反刍动物瘤胃中的有效降解率各不相同。饲料蛋白质在瘤胃中的降解主要取决于其发酵的难易程度及在瘤胃内的滞留时间。同一种饲料在瘤胃中停留时间长,则降解率较高,反之,则降解率较低。牧草的蛋白质多以含氮化合物为主,存在于细胞内容物中,蛋白质的降解速度取决于植物细胞壁的纤维素结构,通常随着植物的成熟、老化,其木质素含量增加,进而影响蛋白质的释放和分解。苧麻叶片、苧麻全株、苧麻去纤维全株 72 h DM 降解率分别为 83.61%、74.17%、63.87%,苧麻叶片及苧麻全株 72 h DM 降解率高于大多数苜蓿、多年生黑麦草、燕麦、玉米青贮、玉米秸秆、羊草,苧麻去纤维全株 72 h DM 降解率低于苜蓿、多年生黑麦草,与燕麦草、玉米青贮和玉米秸秆相近,高于羊草^[17-24]。苧麻叶片、苧麻全株、苧麻去纤维全株 DM 有效降解率分别为 49.05%、47.16%、36.07%,苧麻叶片与苧麻全株 DM 有效降解率高于玉米青贮、玉米秸秆、羊草,但低于苜蓿,与玉米青贮、玉米干草及羊草相近^[17-25]。苧麻叶片、苧麻全株、苧麻去纤维全株在 72 h CP 降解率相近,苧麻叶片略高于苧麻全株略高于苧麻去纤维全株,苧麻叶片、苧麻全株、苧麻去纤维全株 72 h CP 降解率与苜蓿接近,高于其他牧草,苧麻叶片、苧麻全株、苧麻去纤维全株 CP 有效降解率以苧麻全株最高

chinaXiv:201711.01503v1

(48.30%)、苧麻去纤维全株次之(38.50%)、苧麻叶片最低(35.97%)，苧麻叶片、苧麻全株、苧麻去纤维全株 CP 有效降解率都低于苜蓿，与多数多年生黑麦草、燕麦草、玉米青贮、羊草等相近^[17-24]。但是，苧麻叶片、苧麻全株、苧麻去纤维全株的 DM、CP 的快速降解部分含量却远远低于其他牧草。

瘤胃 NDF 和 ADF 降解率是表示粗饲料营养价值的一个重要指标，其大小反映了饲料消化的难易程度，提高其瘤胃降解率可增加反刍动物的 DMI 和生产性能。苧麻叶片的 72 h NDF 降解率、NDF 有效降解率分别为 77.63%、35.72%；苧麻全株的分别为 66.01%、35.24%；苧麻去纤维全株的分别为 51.31%、17.66%。苧麻叶片 72 h ADF 降解率及 ADF 有效降解率分别为 79.16%、41.97%；苧麻全株的分别为 69.14%、40.25%；苧麻去纤维全株的分别为 53.24%、28.75%。苧麻叶片及苧麻全株的 72 h ADF、NDF 降解率和 ADF、NDF 有效降解率都高于苜蓿、燕麦草、羊草、玉米青贮等牧草，苧麻去纤维全株的 72 h ADF、NDF 降解率和 ADF、NDF 有效降解率与苜蓿、羊草等牧草相近^[18-25]。

综合来看，除了 DM、CP 的快速降解部分含量外，苧麻叶片与苧麻全株的尼龙袋各指标都高于多数牧草，如羊草、多年生黑麦草，与苜蓿相近；而苧麻去纤维全株的各尼龙袋指标却低于苧麻叶片和苧麻全株，与羊草相近。

4 结 论

从体外产气量和有效降解率来看，苧麻叶片和苧麻全株的饲用价值要优于苧麻去纤维全株。总体来说，苧麻在反刍动物瘤胃中有较好的消化利用率，可作为反刍动物饲草资源开发利用。

参考文献:

- [1] 中国农业科学院麻类研究所.中国苧麻品种志[M].北京:农业出版社,1992:3.
- [2] 白玉超,李雪玲,黄敏升,等.50 年来中国苧麻种植情况与前景展望[J].作物研究,2014,28(5):547-550.
- [3] 魏金涛,严念东,杨雪海,等.苧麻及副产物作为饲料原料的应用研究进展[J].饲料工业,2015,36(增刊 1):17-20.
- [4] 朱涛涛,朱爱国,余永廷,等.苧麻饲料化的研究[J].草业科学,2016,33(2):338-347.
- [5] 姜涛,熊和平,喻春明,等.苧麻在饲料中的研究及开发应用[J].饲料工业,2008,29(3):53-55.

- 238 [6] KIPRIOTIS E, HEPING X, VAFEIADAKIS T, et al. Ramie and kenaf as feed crops[J]. Industrial
239 Crops and Products, 2015, 68: 126–130.
- 240 [7] CONTÒG, CARFI F, PACE V. Chemical composition and nutritive value of ramie plant
241 [*Boehmeria nivea* (L.) Gaud] and its by-products from the textile industry as feed for
242 ruminants[J]. Journal of Agricultural Science and Technology A, 2011, 1(5): 641–646.
- 243 [8] 蔡敏, 李雅玲, 吕发生, 等. 饲料用苧麻品种在重庆三峡库区的比较研究[J]. 饲料研
244 究, 2015(23): 6–9, 13.
- 245 [9] 吴仙. 不同饲料山羊瘤胃降解率及其对瘤胃内环境影响研究[D]. 硕士学位论文. 贵州: 贵州
246 大学, 2009.
- 247 [10] 张颖, 毛华明. 不同种类牧草营养物质瘤胃降解率研究[J]. 饲料工业, 2014, 35(21): 54–57.
- 248 [11] 张丽英. 饲料分析及饲料质量检测技术[M]. 北京: 中国农业大学出版社, 2003.
- 249 [12] VAN SOEST P J. Development of a comprehensive system of feed analyses and its
250 application to forages[J]. Journal of Animal Science, 1967, 26(1): 119–128.
- 251 [13] MENKE K H, STEINGASS H. Estimation of the energetic feed value obtained from chemical
252 analysis and *in vitro* gas production using rumen fluid[J]. Animal Research and
253 Development, 1988, 28: 7–55.
- 254 [14] 王加启. 反刍动物营养学研究方法[M]. 北京: 现代教育出版社, 2011.
- 255 [15] ØRSKOV E R, MCDONALD I. The estimation of protein degradability in the rumen from
256 incubation measurements weighted according to rate of passage[J]. The Journal of Agricultural
257 Science, 1979, 92(2): 499–503.
- 258 [16] 隋美霞. 产气法和 CNCPS 法对粗饲料营养评价的比较研究[D]. 硕士学位论文. 哈尔滨: 东
259 北农业大学, 2009.
- 260 [17] 张晓佩, 刘远, 高承芳, 等. 3 个多花黑麦草品种的瘤胃降解特性比较研究[J]. 家畜生态学
261 报, 2016, 37(1): 53–57.
- 262 [18] 马健, 刘艳芳, 杜云, 等. 禾王草与奶牛常用粗饲料瘤胃降解特性的对比研究[J]. 动物营养学
263 报, 2016, 28(3): 816–825.
- 264 [19] 林淼, 张建刚, 黄正旺, 等. 4 种常用饲草在湖羊瘤胃中的降解特性[J]. 饲料研

究,2015(1):35–39.

[20] 侯玉洁,徐俊,吴春华,等.5 种不同牧草在奶牛瘤胃中降解特性的研究[J].中国奶牛,2013(16):4–8.

[21] 陈艳,张晓明,王之盛,等.6 种肉牛常用粗饲料瘤胃降解特性和瘤胃非降解蛋白质的小肠消化率[J].动物营养学报,2014,26(8):2145–2154.

[22] 冷静,张颖,朱仁俊,等.6 种牧草在云南黄牛瘤胃中的降解特性[J].动物营养学报,2011,23(1):53–60.

[23] 王丽娟,刘建明,辛杭书,等.不同产地对羊草营养价值及其瘤胃降解特性的影响[J].中国畜牧杂志,2012,48(21):47–51.

[24] 陈晓琳,刘志科,孙娟,等.不同牧草在肉羊瘤胃中的降解特性研究[J].草业学报,2014,23(2):268–276.

[25] 高巍,何佳文,刘晨黎,等.苜蓿草粉干物质、有机物及粗蛋白质在农户育肥模式下哈萨克羊瘤胃有效降解率评定[J].黑龙江畜牧兽医,2014(5):93–95.

Evaluation on Feeding Value of Ramie Using *in Vitro* Gas Production and Nylon Bag Methods

HE Yao WANG Hongrong* XU Jinhao ZHAO Rui

(College of Animal Science and Technology, Yangzhou University, Yangzhou 225009, China)

Abstract: In this experiment, the feeding value of ramie leaf, ramie whole plant and ramie whole plant without fiber were evaluated by *in vitro* gas production and nylon bag methods. The ramie leaf, ramie whole plant and ramie whole plant without fiber were used to determine 72 h dynamic gas production by *in vitro* gas production method, and then gas production parameters were calculated; the above three materials were applied to measure degradation rates of dry matter (DM), crude protein (CP), neutral detergent fiber (NDF) and acid detergent fiber (ADF) using nylon bag method, and then degradation parameters were determined. The results showed as follows: 1) in the experiment of *in vitro* gas production, 72 h gas production and theological maximum gas production of ramie whole plant were the highest, and were significantly higher than those of ramie whole plant without fiber ($P<0.05$); the values of ramie leaf were in the middle,

*Corresponding author, professor, E-mail: hrwang@yzu.edu.cn

(责任编辑 王智航)

and had no significant difference with those of the other two materials ($P>0.05$). 2) In the experiment of nylon bag, 72 h degradation rates of DM, CP, NDF and ADF showed ramie leaf > ramie whole plant > ramie whole plant without fiber; and the effectively degradation rates of DM, NDF and ADF showed the same tendency; however, when it came to effectively degradation rate of CP, ramie whole plant > ramie leaf > ramie whole plant without fiber. Considered from *in vitro* gas production and effectively degradation rate, feeding values of ramie leaf and ramie whole plant are superior to that of ramie whole plant without fiber.

Key words: ramie; feeding value; *in vitro* gas production method; nylon bag method